

Zusatz zu Prüfbericht BAST 2009 7D 10

vom 09. Juni 2016

DEKRA Automobil GmbH
Handwerkstr. 15
70565 Stuttgart

Messdatenauswertung nach DIN EN 1317-1:2011-01

TB 31 nach DIN EN 1317-2: 1998 + A1: 2006

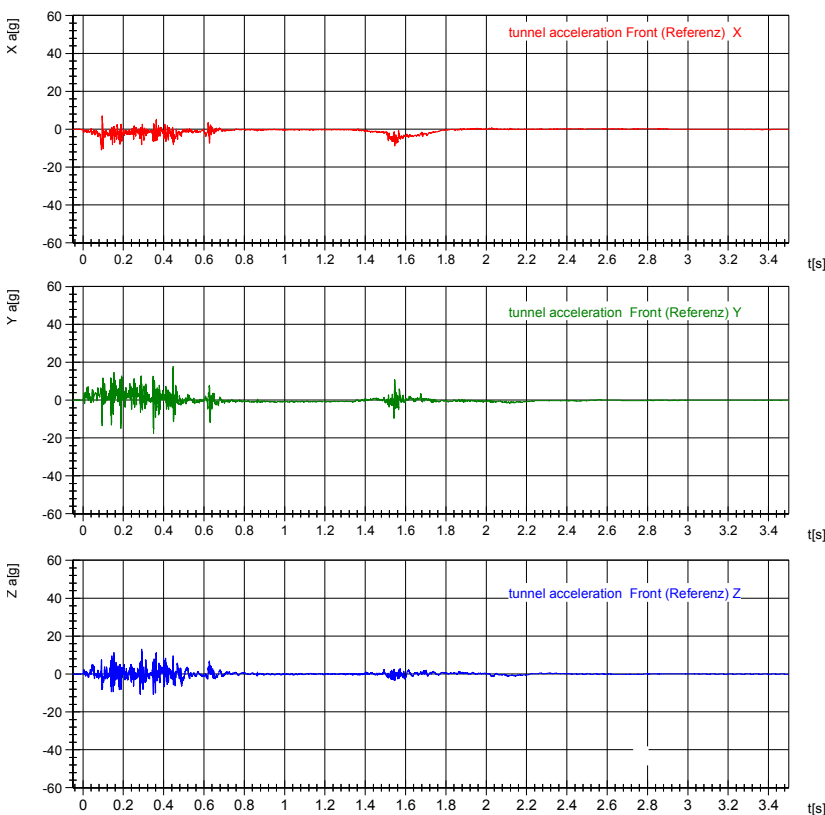


Durchgeführt auf dem DEKRA Versuchsgelände
in Eggebek am 27. Oktober 2009 um 14:30 Uhr

5.4 **Einschätzung der Anprallheftigkeit**
Assessment of the impact severity

5.4.1 **Graphische Darstellungen der linearen Beschleunigungen und Winkelgeschwindigkeiten**
Graphs of linear accelerations and angular velocities

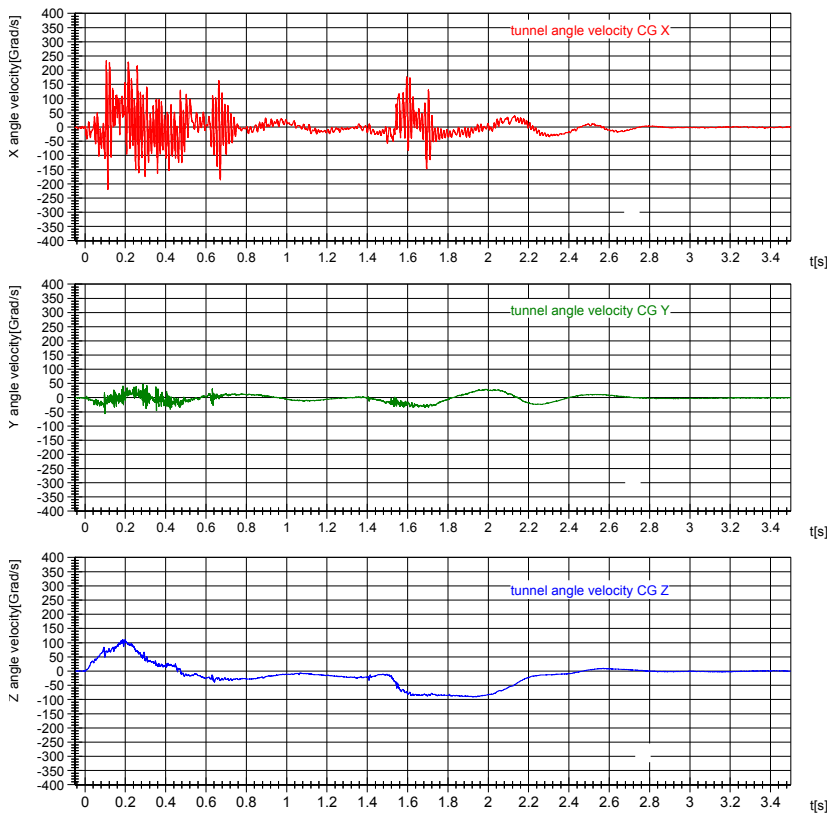
Triaxialer Beschleunigungsaufnehmer im Fahrzeugschwerpunkt
Three-axis accelerometer in the vehicle's centre of gravity



| | X | Y | Z |
|-----------|----------|----------|----------|
| maximum | 7.05 g | 17.89 g | 13.22 g |
| time | 0.095 s | 0.447 s | 0.292 s |
| minimum | -10.85 g | -17.63 g | -10.75 g |
| time | 0.092 s | 0.35 s | 0.349 s |
| 3ms value | 6.7 g | 7.33 g | 5.37 g |
| time | 1.545 s | 0.191 s | 0.093 s |

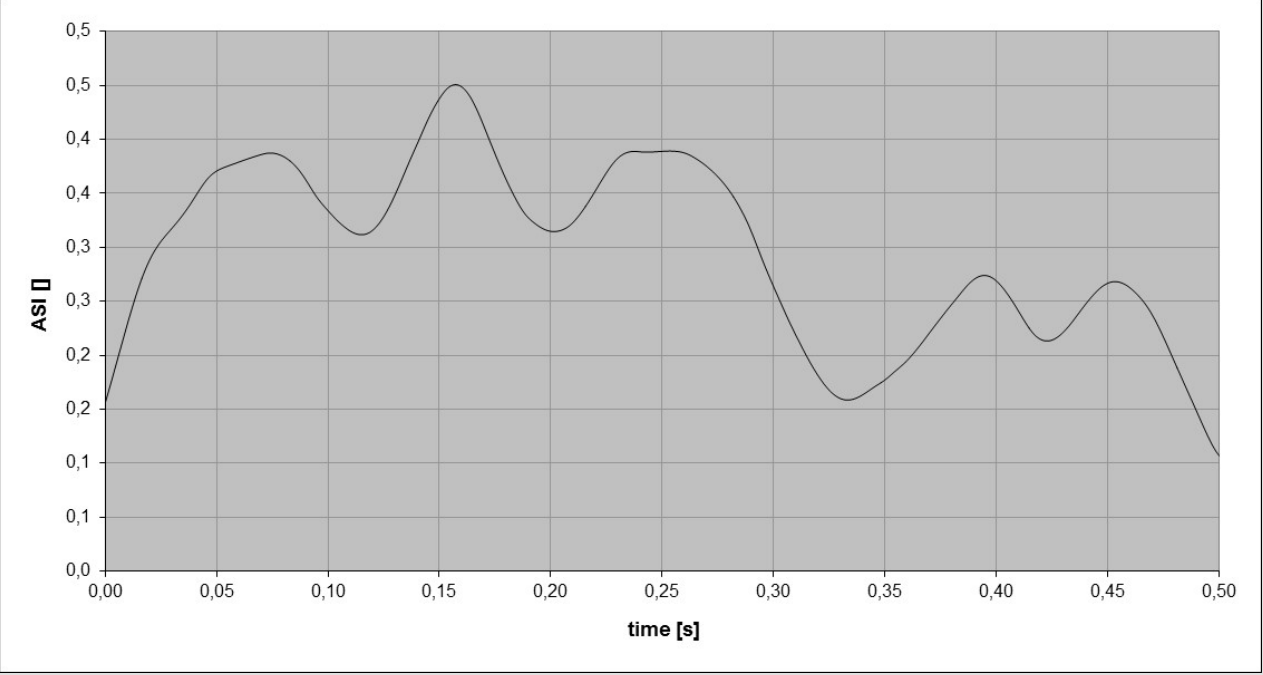
| | | |
|---|------------------------|----------------------------|
| | filter class: CFC_180 | confidential / vertraulich |
| | | testdate 03.11.2009 |
| measurementplace: 10TUNNFR0001AC | testnumber 20097D10 | |
| tunnel acceleration Front (Referenz) X to Z | | |

Drehratensensor im Fahrzeugschwerpunkt
Gyro-sensor in the centre of gravity



| | X | Y | Z |
|-----------|----------------|---------------|---------------|
| maximum | 234.18 Grad/s | 47.25 Grad/s | 111.51 Grad/s |
| time | 0.105 s | 0.287 s | 0.199 s |
| minimum | -219.26 Grad/s | -56.85 Grad/s | -90.88 Grad/s |
| time | 0.113 s | 0.099 s | 1.928 s |
| 3ms value | 213.62 Grad/s | 32.74 Grad/s | 108.3 Grad/s |
| time | 0.213 s | 1.684 s | 0.185 s |

| | | |
|---------------------------------|-----------------------|----------------------------|
| | filter class: CFC_180 | confidential / vertraulich |
| | | testdate |
| | | 03.11.2009 |
| measurementplace: | testnumber | |
| 10TUNNCG0000AV | 20097D10 | |
| tunnel angle velocity CG X to Z | | |

| | |
|---|------------------|
| 5.4.2 Index für die Schwere der Beschleunigung, ASI <i>Acceleration Severity Index, ASI</i> | 0,5 |
| 5.4.2.1 Graphische Darstellung des ASI über die Zeit <i>Graph of ASI</i> | |
|  | |
| 5.4.3 Theoretische Anprallgeschwindigkeit des Kopfs, THIV <i>Theoretical Head Impact Velocity, THIV</i> | 4,2 m/s |
| 5.4.3.1 Flugzeit des theoretischen Kopfes <i>Time of flight of the theoretical head</i> | 0,143 s |
| Flugweg des theoretischen Kopfes <i>Distance of flight of the theoretical head</i> | 0,289 m |
| 5.4.3.2 Theoretische Anprallgeschwindigkeit des Kopfs, THIV <i>Theoretical Head Impact Velocity, THIV</i> | 15,0 km/h |
| Kopfverzögerung nach dem Anprall, PHD <i>Post-Impact Head Deceleration, PHD</i> | - |